

مطالعه ساختار سرعتی پوسته و سازوکار گسلش در زون گسلی امتداد لغز تبریز

نوشه: علی سیاهکالی مرادی^{*}, محمد تاتار^{**}, دنیس هاتسفلد^{***}, آن پل^{***}

* مؤسسه ژئوفیزیک دانشگاه تهران، تهران، ایران

** پژوهشگاه بین‌المللی زلزله‌شناسی و مهندسی زلزله، تهران، ایران

*** مرکز ژئوفیزیک و تکتونوفیزیک دانشگاه ژوزف فوریه گرونوبل، فرانسه

Crustal Velocity Model and Fault Mechanism of the Tabriz Strike-Slip Zone.

By : A. S. Moradi^{*,**}, M. Tatar^{**}, D. Hatzfeld^{***} & A. Paul^{***}

* Institute of Geophysics, University of Tehran (IGUT), Tehran, Iran

** International Institute of Earthquake Engineering and Seismology (IIEES), Tehran, Iran

*** Laboratoire de Géophysique Interne et Tectonophysique, Université Joseph Fourier Grenoble – CNRS, France

تاریخ دریافت: ۱۳۸۷ / ۰۲ / ۱۳

تاریخ پذیرش: ۱۳۸۷ / ۰۵ / ۱۳

چکیده

گسل شمال تبریز یکی از گسل‌های فعال در شمال باختر ایران است. وجود این گسل سبب بالا رفتن خطر لرزه‌ای در این ناحیه از کشور از جمله شهر تبریز با جمعیتی بالغ بر ۱/۶ میلیون نفر شده است. به منظور بررسی و تعیین هندسه و نحوه حرکت این گسل، به مدت ۳ ماه، شبکه‌ای متراکم از ۴۰ ایستگاه لرزه‌نگاری ۳ مؤلفه در اطراف قسمت مرکزی گسل تبریز که از قسمت شمالی شهر تبریز عبور می‌کند، نصب شد. با استفاده از خرد زمین لرزه‌های ثبت شده در شبکه موقت نصب شده و بیش از ۶ سال داده‌های ثبت شده در شبکه دائمی ایستگاهی تبریز، مدل یک بعدی سرعتی پوسته در این ناحیه تعیین شد. نتایج کار نشان می‌دهد که پوسته بالایی در این ناحیه، از لایه‌ای از رسوبات با ستبرای میانگین ۶ کیلومتر ($V_p = 5.23 \text{ km s}^{-1}$) در بالای یک لایه بلورین با ستبرای میانگین ۱۸ کیلومتر ($V_p = 5.85 \text{ km s}^{-1}$) تشکیل شده است. این دو لایه بر روی یک نیم فضای سرعت میانگین $V_p = 6.54 \text{ km s}^{-1}$ قرار دارند که با توجه به محدودیت عمقی زمین لرزه‌های ثبت شده، نمی‌توان ستبرای این لایه را تعیین کرد. زمین لرزه‌های تعیین محل شده با دقت بالا، حاکی از فعالیت لرزه‌ای در امتداد گسل شمال تبریز هستند. بررسی دقیق محل کانونی زمین لرزه‌ها در مقاطع مختلف، نشان‌دهنده شیب تند به سمت شمال خاوری در قسمت‌های باختری و میانی گسل شمال تبریز و شیب تند به سمت جنوب باختری در قسمت خاوری این گسل است. تمامی سازوکارهای محاسبه شده، بیانگر حرکت امتداد لغز راست گرد در این گسل هستند. سازوکارهای محاسبه شده، با مقاطع کانونی زمین لرزه‌ها همخوانی داشته و نشان‌دهنده وجود نیرو با مؤلفه کششی در قسمت‌های خاوری گسل در مقایسه با وجود نیرو با مؤلفه تراکمی در قسمت باختری گسل هستند. سازوکارهای مشاهده شده در تحقیق ما و نتایج مطالعات مربوط به اندازه‌گیری‌های سرعت حرکت در این منطقه به کمک GPS بیانگر این مطلب است که گسل شمال تبریز یکی از مجموعه گسل‌های امتداد لغزی است که سبب تسهیل حرکت افقی قسمتی از پوسته به سمت شمال خاور در این ناحیه متراکم شونده، می‌شود.

کلید واژه‌ها: گسل شمال تبریز، ساختار سرعتی پوسته، سازوکار کانونی، حرکت امتداد لغز راست گرد

Abstract

The North Tabriz Fault (NTF) is an active fault which poses a high seismic hazard to the areas of NW Iran, especially the city of Tabriz with a population of 1.6 million. In order to determine the geometry and the kinematics of this fault system, a local dense seismological network including forty 3-component stations was installed around the central segment of Tabriz Fault which crosses the northern part of the city of Tabriz. This network operated for 3 months. Using microearthquakes recorded by our temporary network in addition of more than 6 years of local events recorded by 8 permanent stations of Tabriz telemetry network, the 1-D crustal velocity of the region was determined.



Our results indicates that the upper crust consists of a ~6 km thick sedimentary layer ($V_p = 5.23 \text{ km s}^{-1}$) overlying a ~18 km thick upper crystalline crust ($V_p = 5.85 \text{ km s}^{-1}$). We estimate a velocity of 6.54 km s^{-1} for the lower crystalline crust, but the limited focal depths of our local events did not allow determining the thickness of this layer. The well-located earthquakes indicate the seismic activity along the Tabriz fault. Precise examination of the focal depths on different cross sections indicates that the western and central segment of this fault system dip northeast ward while the eastern part shows almost southwest dipping plane. Calculated focal mechanism all indicate the right-lateral strike-slip motion of the Tabriz Fault. The most reliable fault plane solutions are consistent with cross sections showing evidence of extension in Eastern part comparing to compression observed in Western segment. Our focal mechanisms and geodetic studies using GPS measurements indicate that the North Tabriz Fault helps to northeast motion of trapped crust in this area.

Key words: North Tabriz Fault, Crustal velocity, Focal mechanism, Right-lateral strike-slip motion

مقدمه

می‌توان اشاره کرد. تبریز نیز به عنوان یکی از شهرهای مهم و پر جمعیت کشورمان با جمعیتی بیش از $1/6$ میلیون نفر در این زون امتداد لغز فعال قرار گرفته است. این شهر بارها در طی تاریخ در اثر زلزله ویران شده که آخرین زمین‌لرزه محرب پیرامون آن، به بیش از 200 سال پیش بازمی‌گردد. همان‌طور که در بخش‌های آتی خواهیم دید، زمین‌لرزه قابل توجهی در سده‌های اخیر در این شهر گزارش نشده است، در حالی که مطالعات ژئودزی بر مقدار قابل توجهی دگرگشکلی امتداد لغز در طفین گسل تبریز اشاره دارد (Vernant et al., 2004, Masson et al., 2006). بررسی دقیق و کمی ویژگی‌های لرزه‌زمین ساختی تبریز و نواحی اطراف آن، هندسه و سازوکار گسل شمال تبریز و تعیین مدل سرعتی پوسته در زون لرزه‌زمین ساختی فوق هدف اصلی پژوهش حاضر است. در این پژوهش سعی بر این است تا به کمک تحلیل خرد زمین‌لرزه‌های ثبت شده در یک شبکه لرزه‌نگاری متراکم که به طور موقت در یک بازه 3 ماهه در اطراف گسل تبریز نصب شده است و همچنین زمین‌لرزه‌های ثبت شده در 8 استگاه دائمی شبکه لرزه‌نگاری تله‌متري تبریز به اهداف فوق دست یابیم.

لرزه‌زمین ساخت تبریز

شمال باخته ایران، در ناحیه‌ای بین دریای خزر، جنوب قفقاز، خاور آناتولی و شمال رشته کوه‌های زاگرس واقع است. این ناحیه بخشی از فلات ایران-ترکیه است که یکی از دو فلات اصلی سامانه چین خورده آلپ-هیمالیا به‌شمار می‌رود (Sengor & Kidd, 1979; Dewey et al., 1986) (Allen, 2004). ارتفاع دارد و در خاور ایران ارتفاع به 500 متر کاهش می‌یابد (Yeats et al., 1997).

زمین ساخت فعال در این ناحیه همانند دیگر نقاط ایران، ناشی از همگرایی صفحه‌های عربی و اوراسیا است که تمامی کشور ما را تحت تأثیر خود قرار داده است.

ایران در کمریند چین خورده آلپ-هیمالیا و در یک ناحیه فشارشی ناشی از همگرایی دو صفحه عربی و اوراسیا قرار دارد. همگرایی این دو صفحه، سبب دگرگشکلی ناحیه‌ای پوسته قاره‌ای به مساحت تقریبی 300000 کیلومتر مربع شده است و این ناحیه را به یکی از بزرگ‌ترین نواحی دگرگشکلی یافته ناشی از همگرایی در زمین مبدل ساخته است (Allen, 2004). همگرایی صفحه‌های عربی-اوراسیا که با آنهنگ بیش از 22 mm/yr صورت می‌پذیرد که باعث به وجود آمدن سامانه‌های پیچیده‌ای از گسل‌های معکوس و امتداد لغز شده است. این امر به صورت کمی نیز با استفاده از داده‌های GPS مشخص شده است (Vernant et al., 2004).

گسل‌های امتداد لغز یکی از عناصر مهم ساختاری در مرز صفحه‌ها هستند (Barka & Kadinsky-Cade, 1988). گسل‌های امتداد لغز با طول بیش از 100 کیلومتر نیز در بسیاری از مناطق فعال قاره‌ای مشاهده و گزارش شده‌اند (Jackson & McKenzie, 1984). این گسل‌ها توانایی تولید زمین‌لرزه‌های بزرگ را دارند (Kurushin et al., 1997) (Berberian et al., 2000; England & Molnar, 1990).

اغلب زون‌های گسلی امتداد لغز قاره‌ای در محیط‌های نیمه برشی واقع شده‌اند (در مقایسه با محیط‌های باویزگی برش خالص) که ناشی از همگرایی یا اوگرایی مایل در مرز صفحه‌ها هستند. در زون‌های برخورد قاره‌ای اغلب گسل‌ها از نوع معکوس بوده و در این نواحی سترشدگی پوسته و سنگ‌کرده مشاهده می‌شود. یکی از پدیده‌های معمول در چنین مناطقی، فوار افقی قطعات سنگ‌کرده از منطقه در حال تراکم است (Yeats et al., 1997). این حرکت توده عظیم مواد در راستای افقی به کمک گسل‌های امتداد لغز صورت می‌گیرد.

در شمال باخته ایران، وجود حرکت‌های برشی، سبب ایجاد گسل‌های امتداد لغز شده است که به گسل شمال تبریز به عنوان یکی از نمونه‌های بارز و بسیار مهم آن



در شمال باخته ایران، سرعت میانگین حرکت امتدادلغز راست گرد را معادل ۸ میلی متر در سال برای گسل شمال تبریز و کششی معادل ۸ میلی متر در سال را با راستای شمال خاور- جنوب باخته در اطراف زون تالش نسبت به ایران مرکزی محاسبه کردند. Copley & Jackson(2006) با استفاده از داده های GPS Reilinger et al. (2006) و با توجه به افزایش میزان سرعت های مشاهده شده از شمال باخته به سمت جنوب خاور در کمریند فققاز، چرخشی پادساعت گرد در گسل های امتدادلغز جنوب ناحیه قفقاز و شمال باخته ایران پیشنهاد کردند.

در تمامی مطالعات صورت گرفته به حرکت امتداد لغز راست گرد گسل شمال تبریز در اثر حرکت کلی موجود در منطقه که همان حرکت رو به سمت شمال صفحه عربی است، اشاره شده است. از جمله جدیدترین کارهای پژوهشی صورت گرفته در مورد لرزه زمین ساخت شمال باخته ایران می توان به کار Bayramnejad et al. (2008) اشاره کرد. ایشان با استفاده از داده های ثبت شده در شبکه لرزه نگاری تله متري تبریز وابسته به مؤسسه ژئوفیزیک دانشگاه تهران مدل یک بعدی سرعتی برای نواحی شمال باخته ایران بین عرض های جغرافیایی ۳۶ تا ۴۰ درجه شمالی و طول های ۴۴ تا ۵۰ درجه خاوری ارائه کردند. نتایج حاصل از کار ایشان دو لایه کم سرعت زیر سطحی با سرعت های ۳ و ۲ کیلومتر با سرعت های میانگین امواج طولی ۴/۸ و ۵/۴ کیلومتر بر ثانیه و یک ناپیوستگی بارز در ژرفای ۲۳ کیلومتری است که در آن سرعت امواج طولی از ۶/۱ به ۶/۶ کیلومتر در ثانیه افزایش می یابد. ژرفای مهو بودست آمده در مطالعه فوق، ۴۵ کیلومتر برآورد شده است.

لرزه خیزی تبریز

گسل شمال تبریز اگرچه در طی بیش از دو سده از لحاظ لرزه ای نافعال بوده، اما در طی تاریخ، رخداد زمین لرزه های بزرگ بارها سبب ویرانی شهر تبریز شده است. زمین لرزه های تاریخی گزارش شده در اطراف شهر تبریز حاکی از آسیب ها و ویرانی های بسیار در این شهر در اثر زلزله است که از مخرب ترین آنها می توان به زمین لرزه های زیر اشاره کرد (Berberian & Yeats, 1999)

۱- زمین لرزه سال ۱۰۴۲ میلادی تبریز : Ms ~ 7.3

۲- زمین لرزه سال ۱۲۷۳ میلادی تبریز : Ms ~ 6.5

۳- زمین لرزه سال ۱۳۰۴ میلادی تبریز - مرند : Ms ~ 6.7

۴- زمین لرزه سال ۱۶۴۱ میلادی دهخوارقان (بین تبریز و دریاچه ارومیه) :

MS ~ 6.8

۵- زمین لرزه سال ۱۷۲۱ میلادی در جنوب خاور تبریز : Ms ~ 7.3

۶- زمین لرزه سال ۱۷۸۰ میلادی تبریز : Ms ~ 7.4

در شکل ۱ زمین لرزه های تاریخی و دستگاهی تبریز و نواحی اطراف آن نشان داده

نتایج حاصل از مطالعات لرزه خیزی ژئودزی که در آن میزان حرکت پوسته بر اساس محاسبه گشتاور لرزه ای و اندازه گیری های GPS برآورده می شود نشان دهنده مقدار کمی کوتاه شدگی در این ناحیه است (Jackson et al., 1995; McClusky et al., 2000; Masson et al., 2005) و بیشتر کوتاه شدگی در شمال این ناحیه در مقایز (McClusky et al., 2000; Reilinger et al., 1997) آن در رشته کوه های زاگرس روی می دهد. سازوکار کانونی زمین لرزه ها در این ناحیه (شکل ۱) نشان دهنده گسلش امتداد لغز در شمال باخته ایران و خاور آناتولی و گسل های معکوس در حاشیه باخته دیریای خزر است. (Jackson et al. (1995) بیان داشتند که با در نظر گرفتن ساختارها در بخش خاوری آناتولی و شمال باخته ایران و میدان کلی سرعت، حرکت به سمت خاور در فلات ایران- ترکیه به منظور فرار از ناحیه همگرایی مشاهده نمی شود در صورتی که وجود گسل های امتداد لغز شمال و خاور آناتولی در بخش باخته سبب فرار افقی قسمتی از پوسته فلات مذکور به سمت باخته شده است. در شمال باخته ایران اگرچه گسل های امتداد لغز ممتد نبوده و از چند قطعه گسلی مجزا تشکیل شده اند (شکل ۱)، ولی دارای یک امتداد هستند. در این ناحیه سامانه گسلی شمال تبریز، بزرگ ترین قطعه امتدادلغز است. این سامانه گسلی به طول تقریبی ۱۵۰ کیلومتر از حوالی مرند در شمال باخته تا بستان آباد در جنوب خاور امتداد دارد. این گسل از گسل های فعل و بی سنگی بوده و نمود بارزی در سطح زمین دارد. Berberian & Arshadi (1976) به کمک مطالعه عکس های هوایی، حرکت راست گرد در امتداد این گسل را مشخص کردند که این حرکت آشکارا در محل قابل مشاهده است (Karkhanian et al., 2004).

یکی دیگر از مظاهر حرکات امتداد لغز در گسل شمال تبریز وجود آبگیرهای فرونگشتی است. این آبگیرها که در شمار حوضه های واچاکیده (Pull apart basin) (قرار می گیرند، دشت هایی هستند که در اثر ایجاد کافت در راستای گسل های امتدادلغز تراکنشی به وجود می آیند و گویای انبساط محلی همراه با حرکت امتداد لغز هستند (Mial, 1990; Stewart & Hancock, 1992). Mokhtari (2007) با مطالعه آبگیرهای اطراف گسل شمال تبریز (قویر گل بستان آباد، پیام، ارلان و میشو) با اشاره به نهشته های بسیار جوان کواترنری در آنها، گسل شمال تبریز را فعل دانسته و آبگیر خشک پیام در نزدیکی مرند را به عنوان جوان ترین آبگیر معرفی کرده است. (Hessami et al. (2003)، با استفاده از جایه جایی مشاهده شده در چاه های قنات و سامانه زهکشی آهنگ لغزش امتداد لغز در این ناحیه را بین ۶/۴ تا ۳/۱ میلی متر در سال تعیین کردند. Vernant et al. (2004)، با اندازه گیری های GPS وجود حرکات امتداد لغز راست گرد را در این ناحیه به خوبی نشان دادند. Masson et al. (2006)، نیز با استفاده از شبکه متراکم GPS نصب شده



محلی در بازه زمانی سال‌های ۱۹۹۶ تا ۲۰۰۳ و شکل موج‌های محدوده زمانی مشترک با شبکه موقع نصب شده است.

پس از تصحیح زمانی داده‌های ثبت شده در شبکه محلی، رکوردهای زمین‌لرزه‌های مختلف از امواج پوسته به قالب استاندارد SAC استخراج شد. پس از این مرحله با تغییر قالب شکل موج‌های شبکه دائمی تبریز از SAC، داده‌های این شبکه با داده‌های شبکه موقع مخلوط شد. در عمل بانک داده‌های مورد استفاده در این پژوهش داده‌های یک شبکه ۴۸ ایستگاهی در بازه ۳ ماهه ۲۰۰۴/۰۴ تا ۲۰۰۴/۰۷ و یک شبکه ۸ ایستگاهی برای بازه ۶ ساله ۱۹۹۶ تا ۲۰۰۳ را شامل می‌شود.

پردازش داده‌ها

در این مطالعه از نرم افزار 2000 PickEv (Frechet & Thouvenot, 2003) به عنوان نرم افزار اصلی قرائت زمان رسید فازهای مختلف در کنار (Havskov & Ottemöller, 2005) SEISAN و DAN نرم افزارهای DAD (Nanometrics, Inc) استفاده شد. لازم به ذکر است در مورد داده‌های سال‌های ۱۹۹۶ تا ۲۰۰۳ تبریز از قرائت‌های انجام شده در این شبکه برای تعیین محل استفاده شد. مجموعه رویدادها در دو بازه زمانی یاد شده، شامل بیش از ۴۹۰ زمین‌لرزه محلی است که مورد استفاده قرار گرفت.

محاسبه V_p/V_s

نسبت سرعت امواج P و S یکی از ویژگی‌های ساختاری مناطق بوده و نقش مهمی در ساختار سرعتی پوسته ایفا می‌کند. برای دست یافتن به این نسبت، پس از اتمام قرائت زمان رسیدها، نسبت سرعت امواج P و S به کمک دو روش مختلف مورد جستجو قرار گرفت:

محاسبه V_p/V_s با استفاده از اختلاف زمان رسیدها

از آنجاکه اختلاف زمان رسید امواج P و S به دو ایستگاه مختلف، ناشی از اختلاف راه آن دو ایستگاه تا مرکز زلزله است، خواهیم داشت:

$$t_p^j - t_p^i = \frac{d^j - d^i}{V_p} \quad (1)$$

$$t_s^j - t_s^i = \frac{d^j - d^i}{V_s} \quad (2)$$

$$\frac{V_p}{V_s} = \frac{t_s^j - t_s^i}{t_p^j - t_p^i} \quad (3)$$

بر اساس رابطه ۳، نسبت V_p/V_s با استفاده از منحنی تغییرات $t_s^j - t_s^i$ بر حسب $t_p^j - t_p^i$ قابل محاسبه خواهد بود. در اینجا i و j ، اشاره به ۱ امین رویداد و

شده است. همان‌طور که در بالا آمده است و در شکل مشاهده می‌شود، آخرین زمین‌لرزه بزرگ پیرامون تبریز در ۱۷۸۰ میلادی و در شمال باخته این شهر روی داده است. از نظر لرزه‌خیزی دستگاهی، برخلاف زمین‌لرزه‌های تاریخی که در سراسر گسل تبریز قابل مشاهده‌اند، فعالیت چندانی در اطراف این گسل به چشم نمی‌خورد. تنها بخشی که در آن تجمعی از رویدادهای دستگاهی سده اخیر مشاهده می‌شود، در بخش باخته گسل شمال تبریز و شمال دریاچه ارومیه است که بزرگی آنها از ۴/۸ فراتر نرفته است. براساس اطلاعات موجود، چنین به‌نظر می‌رسد که در سده‌های اخیر، بخش باخته گسل تبریز فعالیت لرزه‌ای بیشتری داشته است. به‌دلیل نبود زمین‌لرزه‌های بزرگ دستگاهی در اطراف شهر تبریز، چنین استنباط می‌شود که منطقه تبریز از دیدگاه لرزه‌ای فعال نباشد اما در واقع وجود ساقمه لرزه‌خیزی تاریخی و مطالعات ژئودزی و زمین‌شناسی که پیش‌تر به آنها اشاره شده، همگی مؤید فعالیت و خط‌پذیری بالای این بخش از کشورمان هستند. (Masson et al. 2005)، با مقایسه دگرگشکلی لرزه‌ای و نالرزه‌ای به‌نتایج جالبی رسیدند.

آنها به کمک داده‌های GPS و کرنش حاصله به کمک بانک داده‌های زمین‌لرزه نسبت دگرگشکلی لرزه‌ای به نالرزه‌ای را محاسبه کردند. نتایج کار آنان بر دوره بازگشتی در حدود ۳۰۰ سال برای زمین‌لرزه‌های تبریز دلالت دارد. (Hessami et al. 2003) براساس سن رویدادهای لرزه‌ای مشاهده شده در ترانشهای حفر شده، میانگین دوره بازگشت زمین‌لرزه‌های بزرگ همراه با گسلش سطحی را 820 ± 170 سال به‌دست آوردند و دوره بازگشت زمین‌لرزه‌های متوسط با بزرگی $5/5$ تا $6/5$ را 210 تا 250 سال محاسبه کردند. با توجه به این که آخرین زمین‌لرزه بزرگ در تبریز در سال ۱۷۸۰ میلادی روی داده است، مطالعه فوق بیانگر افزایش ریسک لرزه‌ای این ناحیه است.

داده‌های مورد استفاده

به‌منظور بررسی وضعیت لرزه‌خیزی گسل تبریز، شبکه‌ای موقع، متشکل از ۴۰ ایستگاه لرزه‌نگاری ۳ مؤلفه‌ای، در حوالی گسل شمال تبریز نصب شد (شکل ۲). این شبکه متشکل از ۱۰ دستگاه لرزه‌سنجد باند میانگین ۴۰ ثانیه، CMG-40T، ۱۲ دستگاه لرزه‌سنجد کوتاه دوره ۲ ثانیه و ۱۸ عدد لرزه‌سنجد کوتاه دوره ۵ ثانیه، Le-3D، که همگی به ثبت کننده‌های MiniTitan متصل بودند، تشکیل شده بود. تمام ایستگاه‌ها به صورت پیوسته و با ساماندهی برداری ۱۲۵ هرتز برای یک دوره زمانی ۳ ماهه در سال ۱۳۸۳ در منطقه فوق نصب و مشغول به کار بودند. در تمام ایستگاه‌ها، زمان با یک گیرنده GPS کالیبره می‌شد. از داده‌های شبکه دائمی تبریز نیز در این پژوهش استفاده شد. شبکه لرزه‌نگاری تبریز دارای ۸ ایستگاه لرزه‌نگاری است که از لرزه‌نگارهای SS1 و دیجیتايزرهای RD3 استفاده می‌کند و از طریق رادیو به مرکز شبکه متصل است. در این شبکه بسامد نمونه‌برداری ۵۰ هرتز است. داده‌های استفاده شده از شبکه تبریز شامل قرائت‌های زمین‌لرزه‌های



برای این کار از نرم افزار VELEST (Kissling, 1998) استفاده شد. نرم افزار فوق این توانایی را دارد که با برگردان زمان های رسید امواج P و S، به طور همزمان مدل سرعتی اولیه را در زیر ایستگاه ها بهبود بخشیده و رویدادها را تعیین محل کند. با توجه به یکتا نبودن جواب در معکوس سازی، برای رسیدن به مدل بهینه سعی شد از مدل های تصادفی اولیه به تعداد زیاد، برای رسیدن به مدل مرزهای تغییر سرعت استفاده شود. ابتدا مدل های تصادفی ساخته شده و برنامه VELEST بر روی داده ها و مدل های ورودی اجرا شد و سپس با کنترل خروجی ها، مدل هایی که روند معکوس سازی در آنها منطقی نبوده و یا باعث افزایش خطای شده اند، کنار گذاشته و مدل های همگرا شده در خروجی برنامه مذکور بررسی شدند.

برای رسیدن به مدل سرعتی بهینه، هزاران مدل تصادفی با مجموعه داده های متفاوت در این منطقه توسط برنامه VELEST آزمایش شد. با توجه به تأثیر ورودی در نتیجه کار از قرائات های مربوط به زمین لرزه هایی که در ایستگاه های بیشتری ثبت و در داخل شبکه قرار داشتند، به عنوان ورودی استفاده شد. شرط پذیرفتن رویدادها به عنوان ورودی، دارای بودن نبود آزمایشی کمتر از ۱۸۰ درجه، با قیمانده زمانی (rms) کمتر از $\frac{1}{3}$ در تعیین محل و ثبت شده توسط حداقل ۶ ایستگاه لحاظ شد. بر اساس معیارهای فوق در مجموع ۱۲۶ زمین لرزه محلی برای برگردان یک بعدی انتخاب شدند. پس از انتخاب مجموعه داده ورودی، مدل اولیه تولید شد. ابتدا از یک دسته مدل ورودی که دارای ۶۰ مدل متفاوت تصادفی با سرعت های میانگین (km/s) با تغییرات سرعت حداقل ۱ واحدی و هر مدل دارای 24 ± 2 کیلومتری بود، استفاده شد (شکل ۳-الف). ۵۷ مدل از این ۶۰ مدل در نهایت همگرا شده و با قیمانده زمانی کلی با مدل های بهینه شده توسط برنامه برابر 0.734 به دست آمد (شکل ۳-ب). با توجه به شکل ۳-ب، بیشترین تغییرات سرعتی در مدل های نهایی در ژرفاهای $6, 8, 10, 24$ و 26 کیلومتری مشاهده می شود. پس از این مرحله، از ۶۰ مدل تصادفی که هر یکی از آنها مدلی 6 ± 2 لایه با مرزهای به دست آمده در مرحله پیشین بودند با سرعت میانگین (km/s) 6 ± 2 و با تغییرات سرعتی حداقل ۱ واحدی به عنوان ورودی مورد استفاده قرار گرفتند (شکل ۳-ج). با مشاهده خروجی برای این ۶۰ مدل به طور کامل مشخص می شود که مدل ها بیشتر به یک مدل 3 ± 2 لایه با مرزهای 6 ± 2 کیلومتری برای کمتر شدن خطاهای سوق پیدا کرده اند (شکل ۳-د). این عملیات با مدل های اولیه ورودی، مشابه شکل (۳-د) مانند دو مرحله پیش ادامه پیدا کرد تا در نهایت خروجی برنامه فوق با استفاده از 50 مدل اولیه تصادفی 3 ± 2 لایه، به جوابی مناسب با سرعت های میانگین $5/23, 5/25, 5/25$ و $6/54$ کیلومتر بر ثانیه منتهی شد (شکل ۴ و جدول ۱). سرعت به دست آمده برای ژرفاهای بیش از 24 کیلومتر همخوانی خوبی با سرعت حاصل برای شمال باخته ایران برای ژرفاهای بین 23 تا 45 کیلومتر دارد که در پژوهش Bayramnejad et al. (2008) برای شما باخته ایران برای ژرفاهای بین 23 تا 45 کیلومتر به دست آمده بود.

زمین ایستگاه دارند. برای محاسبه نسبت VP/VS در گستره مورد مطالعه از داده های انتخابی با شرط های نبود آزمایشی کمتر از 180 ، عدم قطعیت مکانی (خطای تعیین محل در سطح (Erh) و خطای تعیین ژرفه (Erz)) در تعیین محل کمتر از 5 کیلومتر و با قیمانده زمانی (rms) کمتر از 0.5 ثانیه زمانی استفاده شد. از روش فوق مقدار نسبت سرعت موج P به S به شرح زیر دست آمد.

$$(Vp/Vs) = 1.77 \pm 0.03$$

مزیت این روش عدم نیاز آن به تعیین محل زمین لرزه ها است.

روش Wadati

متداول ترین روش برای محاسبه VP/VS روش Wadati (1933) است. اساس روش Wadati نیز بر اختلاف زمان رسید امواج P و S استوار است. با توجه به این که برای یک رویداد لرزه ای روابط زمان رسید امواج P و S به شرح زیر برقرار است:

$$t_p = t_0 + \frac{D}{V_p} \quad (4)$$

$$t_s = t_0 + \frac{D}{V_s} \quad (5)$$

که در آنها D نشانگر فاصله، t_p و t_s برابر زمان رسیدهای امواج P و S در یک ایستگاه و t_0 برابر زمان وقوع رویداد است. Wadati با حذف فاصله از ۲ رابطه فوق به رابطه زیر رسید.

$$t_s - t_p = \left(\frac{V_p}{V_s} - 1 \right) \times (t_p - t_0) \quad (6)$$

برای حصول بهترین نتیجه در محاسبه V_s/V_p به روش Wadati از معیارهای مختلفی برای انتخاب مجموعه داده ها استفاده شد. با استفاده از معیاری مشابه روش قبل و کمترین ضریب همبستگی 0.98 در تعیین V_s/V_p در رویدادهای مختلف، مقدار آن به شرح زیر به دست آمد.

$$(V_p/V_s)_2 = 1.77 \pm 0.05$$

همان طور که در بالا مشاهده می شود مقدار V_s/V_p از دو روش، برابر با $1/77$ است که از این مقدار برای مراحل بعدی استفاده می شود.

تعیین مدل سرعت

همان طور که در مقدمه بیان شد، Bayramnejad et al. (2008) مدلی سرعتی برای نواحی شمال باخته ایران ارائه کرده اند. با توجه به این که مدل سرعتی به دست آمده در کار فوق با استفاده از داده های ثبت شده توسط شبکه تله متري تبریز و با استفاده از زمین لرزه هایی است که بسیاری از آنها در خارج این شبکه ثبت شده اند و با توجه به نبود یک مدل سرعتی معتبر و قابل قبول برای خود منطقه تبریز و اهمیت مدل سرعتی در تعیین محل زمین لرزه های محلی سعی شده به کمک زمان رسیده ها و روش معکوس سازی یک بعدی، مدل سرعتی به صورت ریز تر برای منطقه تعیین شود.



نمونه گیری نشده است. در گروه یادشده دست کم یک صفحه به خوبی تعیین شده به طوری که نمی‌تواند بیشتر از ۱۰ درجه جایه‌جا شود، در حالی که صفحه دوم، آزادی لازم برای جایه‌جایی تا بیشتر از ۲۰ درجه را دارد. گروه سوم سازوکارهایی را شامل می‌شود که هیچ یک از صفحه‌ها به خوبی تعیین نشده‌اند و هر دو صفحه می‌توانند جایه‌جا شوند. امکان حل سازوکارهای متفاوت برای سازوکارهای این گروه وجود دارد. برای تعیین سازوکارهای گروه اخیر، بیشتر سعی شد از سازوکارهای واقع در مجاورت آنها کمک گرفته شود. پارامترهای مربوط به تعیین محل و سازوکار کانونی این زمین‌لرزه‌ها در جدول ۲ آمده است.

سازوکارهای محاسبه شده در گستره گسل شمال تبریز به خوبی بر حرکت امتداد لغز راست گرد این گسل دلالت دارند (شکل ۵). بجز چند مورد سازوکار مشاهده‌ای در بخش باختری گسل که دلالت بر گسلش معکوس دارند، سایر سازوکارهای موجود به خوبی نشانگر راستالغز بودن گسل تبریز است. سازوکارهای معکوس به نظر مرسد مرتبط با فعالیت گسل معکوس صوفیان باشند. شب تند به سمت شمال در بخش میانی و شب زیاد به سمت جنوب در بخش خاوری (مطابق مقاطع عرضی رسم شده در شکل ۷) به خوبی با سازوکارهای کانونی حل شده سازگار هستند. براساس سازوکارهای حل شده، وجود حرکت کششی در بخش خاوری گسل شمال تبریز قابل تأمل است. اگرچه بدليل سامانه فشاری ناشی از حرکت رو به شمال صفحه عربی، انتظار وجود مؤلفه فشاری را داریم اما نتایج پژوهش حاضر و مطالعات ژئودزی به عمل آمده به کمک اندازه گیری GPS (Masson et al., 2006) وجود حرکات کششی را تأیید می‌کنند.

بحث و نتیجه‌گیری

بررسی سه ماه داده ثبت شده در یک شبکه موقع لرزه‌نگاری در کنار ۶ سال داده جمع‌آوری شده توسط شبکه دائمی لرزه‌نگاری تبریز این امکان را به وجود آورد تا بتوان ساختار سرعتی پوسته و لرزه‌خیزی گسل تبریز در بخش‌های مختلف آن را مطالعه کرد. نتایج حاصل از تحلیل زمین‌لرزه‌های محلی نشان می‌دهد که ساختار پوسته در گستره شهر تبریز و زیر گسل تبریز از یک لایه رسوبی به سبیرای ۶ کیلومتر و سرعت ۵/۲۳ کیلومتر بر ثانیه از یک لایه سبیر ۱۸ کیلومتری با سرعت ۵/۸۵ کیلومتر بر ثانیه به عنوان بخش بالایی پوسته بلورین که در مجموع بر روی یک نیم فضای با سرعت ۶/۵۴ کیلومتر بر ثانیه قرار می‌گیرند، تشکیل شده است. بیشتر زمین‌لرزه‌های تعیین محل شده، ژرفایی بین ۵ تا ۲۵ کیلومتر را نشان می‌دهند. این زمین‌لرزه‌ها به خوبی بر فعالیت گسل تبریز دلالت داشته و به آن مربوط می‌شوند. سازوکارهای کانونی محاسبه شده، غالباً دلالت بر حرکت امتداد لغز گسل تبریز دارند. سازوکارهای حل شده، همخوانی خوبی با مقاطع گسلی به دست آمده از زمین‌لرزه‌ها (شکل ۷) دارند. سازوکارهای مقاطع مشاهده شده، حاکی از تغییر تدریجی شب گسل

توزيع کانون ژرفی زمین‌لرزه‌های محلی

توزیع کانون ژرفی زمین‌لرزه‌ها عامل اصلی در شناخت هندسه گسل است، و در این راستا، آنچه نقش مهمی ایفا می‌کند، داده‌های زمین‌لرزه‌هایی است که با دقت بالا تعیین محل شده باشند. به منظور بررسی توزیع کانون ژرفی زمین‌لرزه‌های ثبت شده، پس از محاسبه V_p/V_s و تعیین مدل سرعتی پوسته در زیر منطقه مورد مطالعه، رویدادهای انتخابی در مرحله پیش، با استفاده از مدل محاسبه شده، دوباره تعیین محل شدن و مقادیر باقیمانده در ایستگاه‌ها به دست آمد. سپس، مقادیر به دست آمده برای حذف اثر باقیمانده ایستگاه‌ها استفاده شد که منجر به کاهش خطای زمانی میانگین باقیمانده زمانی شد. به منظور اطمینان از نتایج، برای مطالعه گسل از میان تمامی رویدادهایی که دوباره تعیین محل شده بودند، یک مجموعه از زمین‌لرزه‌ها با شرایط نبود آزمیوتی ایستگاهی (GAP) کمتر از ۱۸۰ درجه و خطای تعیین محل در سطح و خطای تعیین ژرفایی کمتر از ۲ کیلومتر انتخاب شد. در این مجموعه داده، که ۳۶۸ زمین‌لرزه را شامل می‌شود، مقدار میانگین خطای تعیین محل در سطح کمتر از ۴۰۰ متر، مقدار میانگین Erz کمتر از ۵۰۰ متر و مقدار میانگین باقیمانده زمانی برابر ۷/۰ است. رومر کز این زمین‌لرزه‌ها در شکل ۵ با دوایر سرخ رنگ نشان داده شده است.

نمودار توزیع ژرفایی ۳۶۸ زمین‌لرزه انتخابی در شکل ۶ آمده است. همان‌طور که در این شکل مشخص است، بیشتر زمین‌لرزه‌های انتخابی، ژرفایی بین ۵ تا ۲۵ کیلومتر دارند.

برای مشاهده بهتر هندسه گسلش از تصویر ۳۶۸ رویداد انتخابی در سه مقطع عرضی که در شکل ۵ محل آنها با 'C'، 'B'، 'A' و 'CC' مشخص شده است، استفاده شد. مقاطع 'CC' و 'BB' هریک به عرض ۳۰ کیلومتر و مقطع 'AA' به عرض ۱۰ کیلومتر است (شکل ۷).

سازوکار کانونی زمین‌لرزه‌های محلی

یکی از اهداف اصلی ما از نصب شبکه متراکم محلی، ثبت زمین‌لرزه‌ها با پوشش آزمیوتی مناسب، تعداد ایستگاه بالا و تعیین محل آن با دقت مناسب به منظور تعیین سازوکار کانونی آنها بود. برای محاسبه سازوکار کانونی برای تعداد محدودی زمین‌لرزه ثبت شده، از قطبیت موج P استفاده شد. این سازوکارهای، با توجه به کیفیت پوشش آزمیوتی در کره کانونی و امکان حل های دیگر برای آنها و با توجه به قابلیت اعتماد و اعتبار، به سه دسته A، B، C تقسیم شدند که در شکل ۵ با سه رنگ مختلف نشان داده شده‌اند.

در گروه اول سازوکارهایی قرار می‌گیرند که به خوبی هر چهار ربع و یا سازوکارهای معکوس آنها بیکار که هر سه ربع به خوبی نمونه گیری شده‌اند (دارای ایستگاه هستند) و امکان جایه‌جایی صفحه‌ها به میزان حداقل ۱۰ درجه میسر است. در گروه دوم سازوکارهایی قرار می‌گیرند که در آنها دست کم یک ربع



شده است (Allen, 2004).

۴- سازوکارهای چپ گرد و وجود حرکات چپ گرد در حاشیه جنوبی قفقاز کوچک (Reilinger et al., 2006).

۵- سازوکارهای فشاری با راستاهای شمالی-جنوبی در حاشیه جنوب باختり دریای خزر.

تمامی موارد یاد شده می‌تواند مؤید حرکت افقی به سمت شمال‌خاور بخش‌هایی از شمال باختر ایران برای خروج از ناحیه تراکمی ناشی از حرکت صفحه عربی به سمت بالا باشد (شکل ۸). در این ناحیه گسل شمال تبریز به عنوان یکی از گسل‌های تسهیل کننده فرار افقی از این ناحیه عمل می‌کند.

سپاسگزاری

بدین وسیله از آقای دکتر مهدی رضاپور، رئیس مرکز لرزه‌نگاری کشوری به خاطر در اختیار قرار دادن داده‌های شبکه لرزه‌نگاری تبریز تشکر و قدردانی می‌نماییم.

تبریز از شمالی در شمال باختر به جنوبی در جنوب خاور دارد. این امر نشان‌دهنده وجود حرکات تراکمی در بخش‌های شمال باختری و حرکات کششی در بخش‌های جنوب خاوری این ناحیه دارد. این امر با نتایج کار حاصل از داده‌های GPS که در مقدمه به آنها اشاره شد و بیانگر وجود کشش در این ناحیه است، همخوانی دارد. در این ناحیه از کشورمان چند پدیده جالب لرزه‌زمین‌ساختی به طور همزمان به شرح زیر قابل مشاهده است:

۱- وجود زون‌های امتداد لغز در آذربایجان (گسل شمال تبریز) و البرز (گسل مشا) که تقریباً دارای یک امتداد بوده ولی حرکات عکس یکدیگر نسبت به ایران مرکزی (و یا اوراسیا) دارند. این دو زون در تالش به یکدیگر می‌رسند.

۲- تغییر روند بردارهای سرعت در مناطق بالای گسل شمال تبریز، نشان‌دهنده تغییر جهت حرکت به سمت خاور نسبت به بخش‌های جنوبی این گسل است (Masson et al., 2005).

۳- چرخش ساعت‌گرد در بلوک جنوبی دریای خزر که سبب حرکت چپ گرد در گسل‌های امتداد لغز حاشیه جنوبی و جنوب باختری دریای خزر

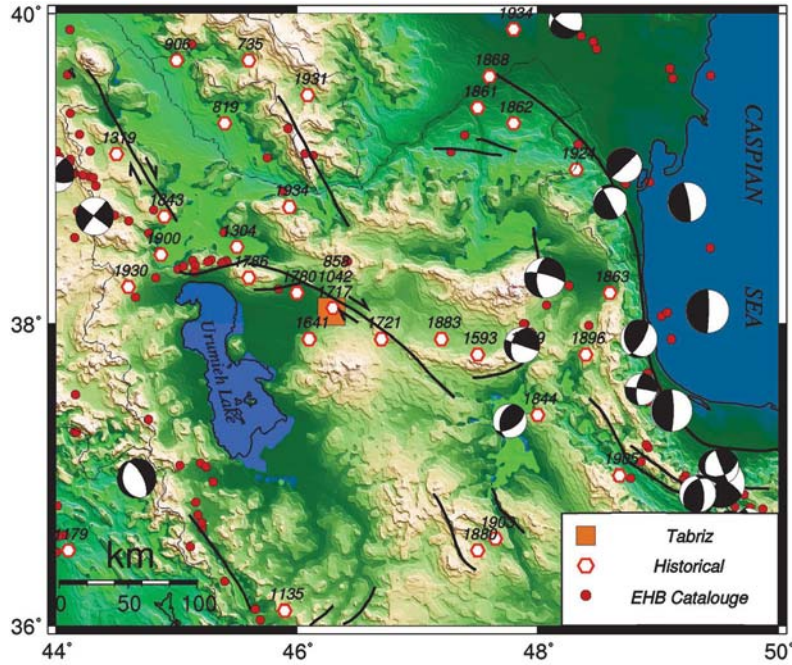
جدول ۱- پارامترهای مدل سرعتی به دست آمده به روش برگردان یک‌بعدی در اطراف گسل شمال تبریز

مرز بالای لایه (km)	سرعت موج P (km/s)	V_p/V_s
.	$5/23 \pm 0/17$	1/77
۶	$5/85 \pm 0/02$	
۲۴	$6/54 \pm 0/03$	

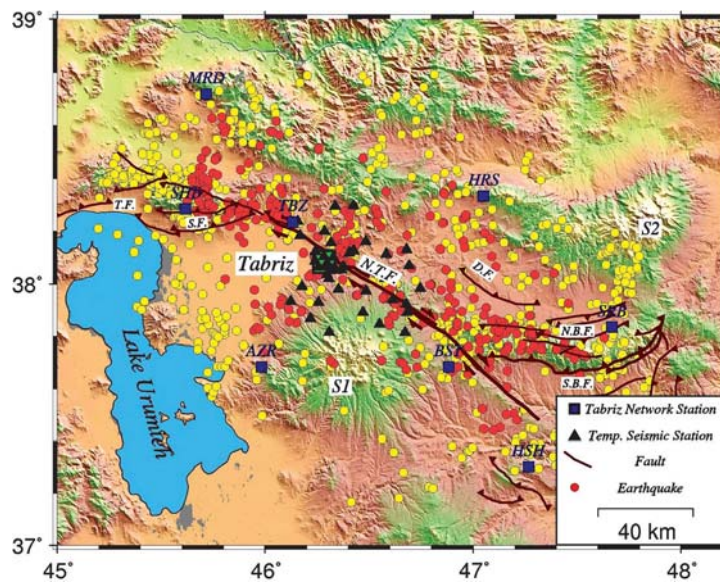
جدول ۲- پارامترهای زمین‌لرزه‌هایی که برای آنها سازوکار به دست آمده است.

No.	DATE (ymmdd)	Time (hh:mm:ss)	Lat. (Deg)	Long. (Deg)	Depth (km)	Mag.	N. (Deg)	Gap (km)	Dmin (km)	RMS (s)	ERH (km)	ERZ (km)	St1	Di1	Ra1	St2	Di2	Ra2	Q
1	40501	23:40:33.62	38.155	45.896	17.26	1.4	35	159	22.6	0.37	1.0	2.0	255.24	41.41	40.89	132.23	64.34	123.69	A
2	40505	06:32:35.03	37.995	46.797	13.2	2.8	58	137	4.8	0.26	0.3	1.4	107.19	61.12	-171.5	13.06	82.56	-29.15	A
3	40507	00:11:42.00	38.438	45.645	7.86	2.9	54	183	17.3	0.24	0.9	4.7	287.47	63.22	82.15	124.47	27.83	105.13	B
4	40507	17:58:29.95	38.436	45.646	18.21	2.5	32	183	17.2	0.36	1.7	1.3	288.27	50.48	164.45	28.31	78.07	40.57	B
5	40507	20:22:42.77	37.880	46.937	16.31	2.0	48	232	20.4	0.24	0.8	0.8	188.77	73.33	25.31	91.04	65.82	161.68	B
6	40621	21:49:52.18	38.141	46.432	16.99	1.7	42	68	1.9	0.23	0.4	0.6	292.91	60	144.74	42.38	60	35.26	A
7	40622	23:39:40.64	38.154	46.385	13.92	1.3	11	138	4.8	0.17	1.3	1.2	294.43	85.95	170.85	25.08	80.87	4.1	C
8	40708	11:21:20.20	38.377	45.758	15.87	2.0	27	223	16.2	0.3	1.4	1.5	280.03	60.18	148.93	26.71	63.4	33.79	C
9	40710	21:17:23.94	37.923	46.625	7.54	1.3	14	106	1.9	0.13	0.4	1.0	100	75	-180	190	90	15	C
10	40713	02:26:12.91	38.339	45.671	18.32	2.7	49	237	7.8	0.45	1.8	1.2	265.98	58.68	60.35	133.58	42.06	129.11	B

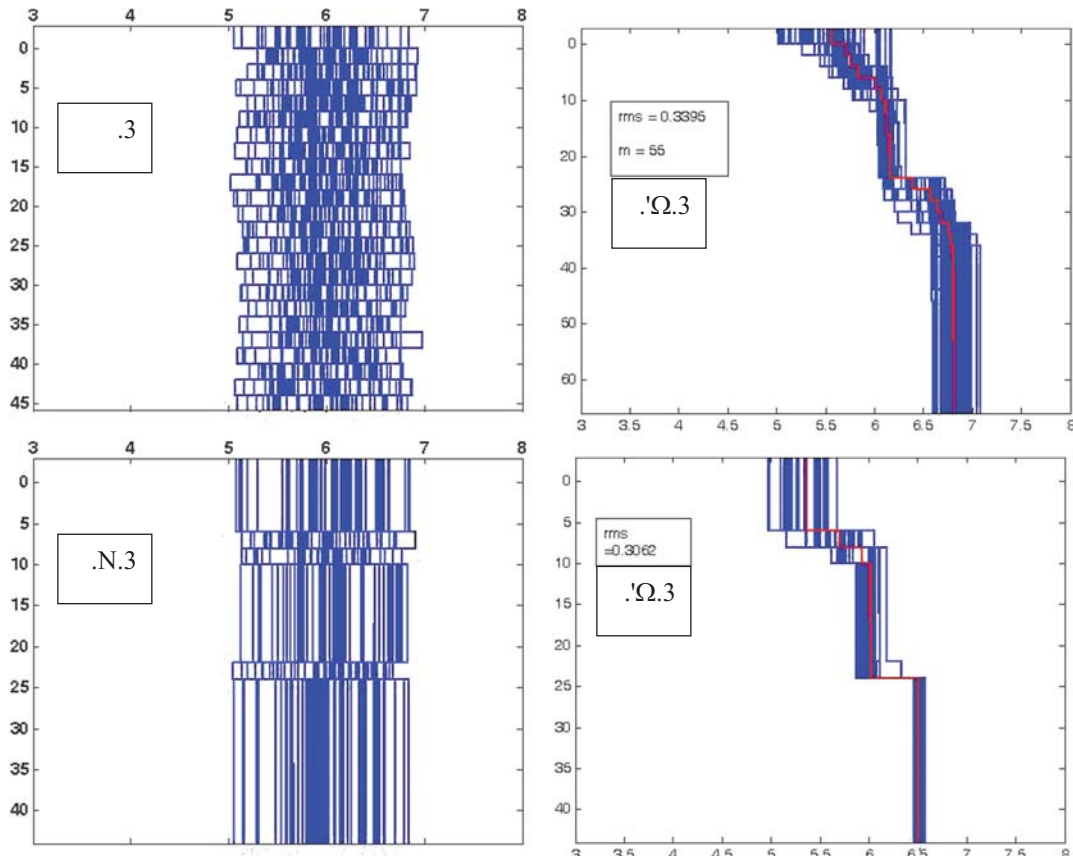
N^* : تعداد فازهای قرائت شده، Gap: نبود آزمیوتی ایستگاه در تعیین محل، Gap: فاصله نزدیک‌ترین ایستگاه تا محل زمین‌لرزه، Di1، St1، Ra1 و Dip، Strike، Rake، Ra2، St2، Di2 و Q: بیانگر کیفیت سازوکار به دست آمده برای زمین‌لرزه است. مربوط به صفحه اول و Di2، St2، Ra2، Dip، Strike، Rake و Ra1 برابر است.



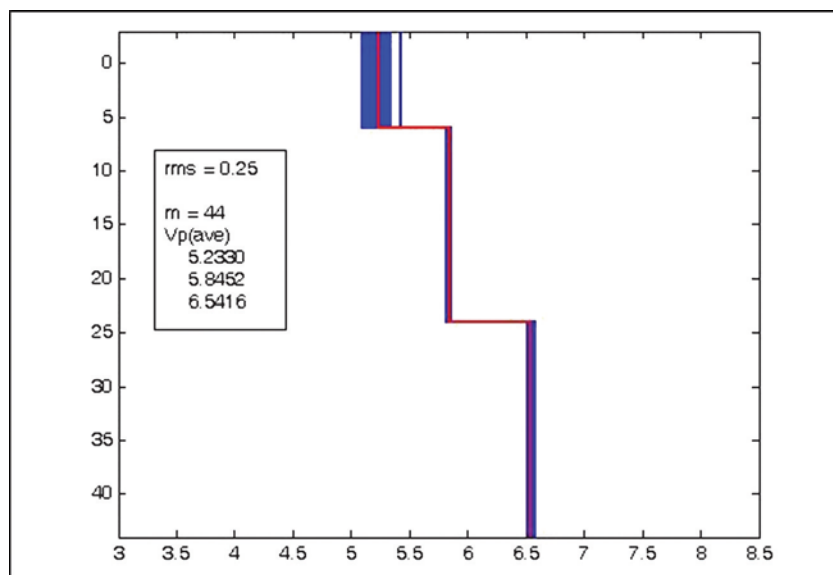
شکل ۱- زمین لرزه‌های تاریخی و دستگاهی شمال باختر ایران. زمین لرزه‌های تاریخی (Ambraseys & Melville, 1982) با شش ضلعی سفید و زمین لرزه‌های دستگاهی از کاتالوگ (Engdahl et al. 2006) با دایره‌های سرخ رنگ نشان داده شده‌اند. سازوکارهای کانونی، حل‌های CMT محاسبه شده توسط مرکز دانشگاه هاروارد است.



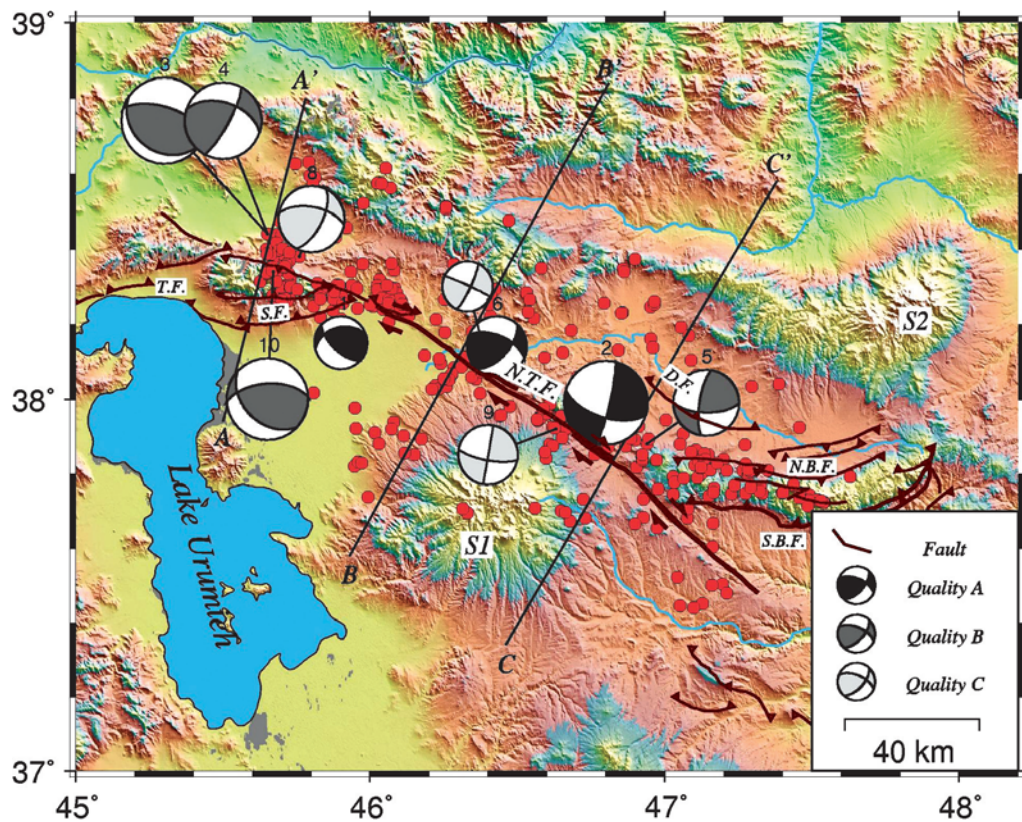
شکل ۲- شبکه موقت لرزه‌نگاری نصب شده در اطراف گسل شمال تبریز و شبکه دائمی تبریز و توزیع رومر کز زمین لرزه‌هایی که در بیش از ۴ ایستگاه ثبت شده‌اند. (دوایر زرد رنگ)، مربوط به رویدادهایی با شرط عدم قطبیت افقی و قائم کمتر از ۳ کیلومتر و نبود ایستگاهی کمتر از ۲۷۰ درجه انتخاب شده‌اند و دوایر سرخ رنگ رویدادهایی هستند با همان شرط که در دوره نصب شبکه موقت ثبت شده‌اند. گسل‌ها (Berberian & Yeats, 1999): گسل دوزدوزان، D.F: گسل بزقوش شمالی، N.B.F: گسل شمال تبریز، T.F: گسل صوفیان، S.F: گسل تسوج، S1: قله سهند، S2: قله سبلان.



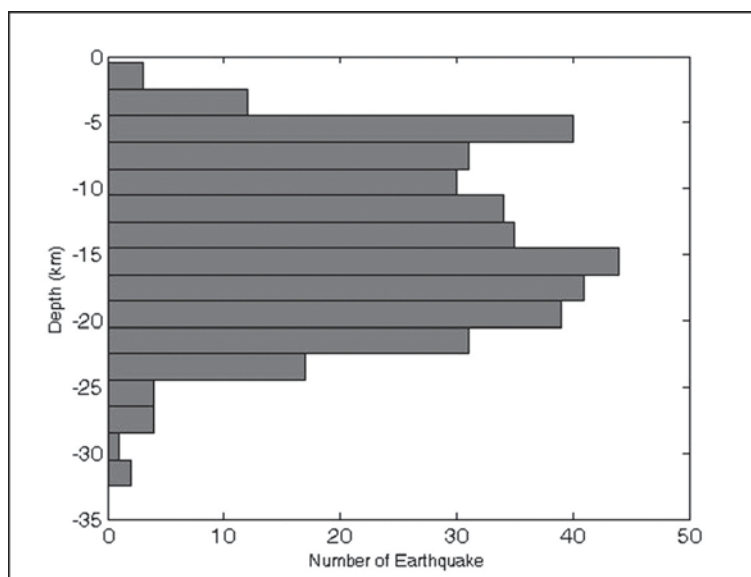
شکل ۳- مدل‌های ورودی اولیه داده شده به برنامه VELEST (سمت چپ) و خروجی حاصل از آنها (سمت راست)



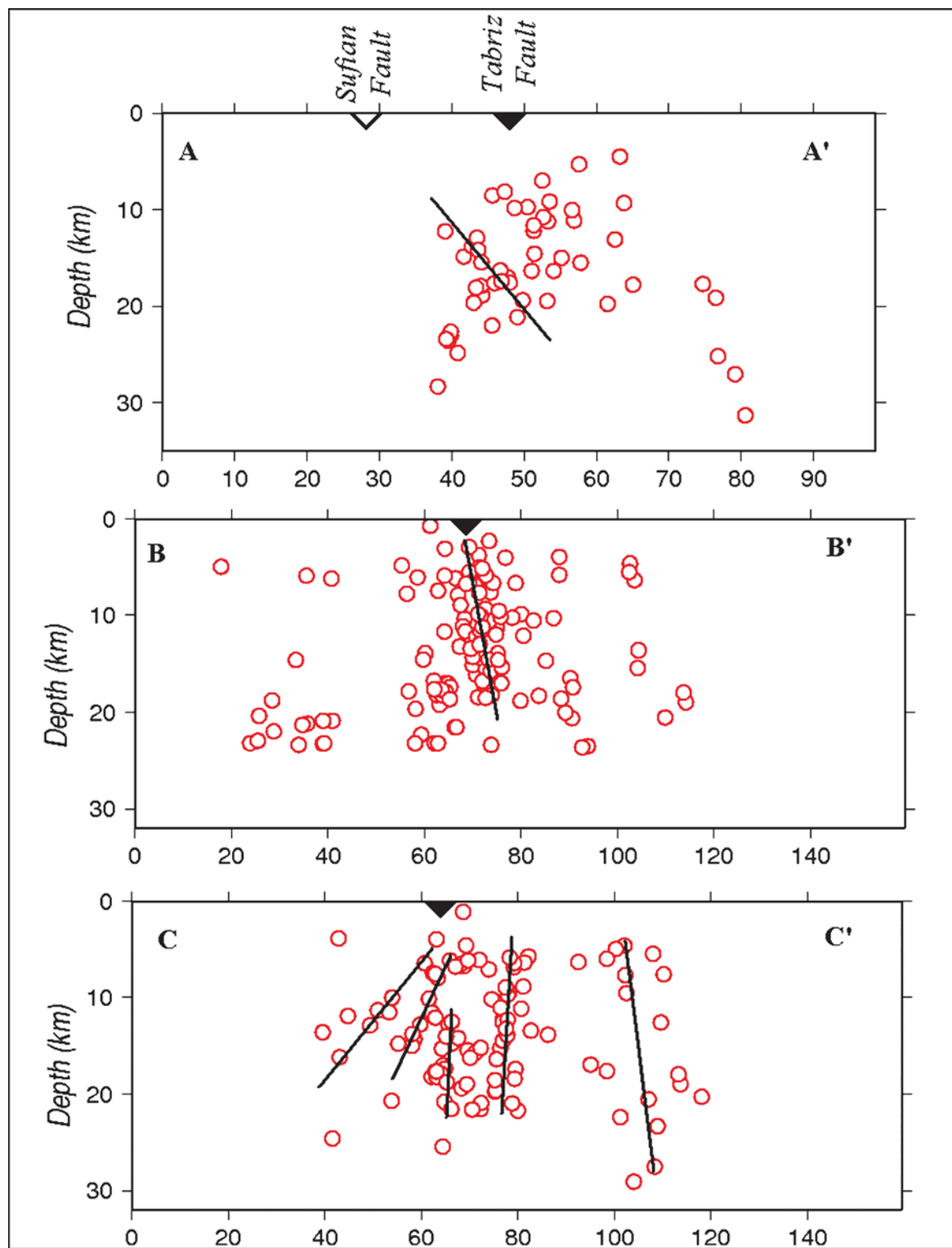
شکل ۴- مجموعه خروجی‌های برنامه VELEST بر روی مجموعه داده انتخابی و ۵۰ مدل تصادفی ۳ لایه با مرزهای ۶ و ۲۴ کیلومتر. همگرایی ۴۴ مدل از ۵۰ مدل اولیه به مدلی واحد، کاملاً در شکل مشهود است.



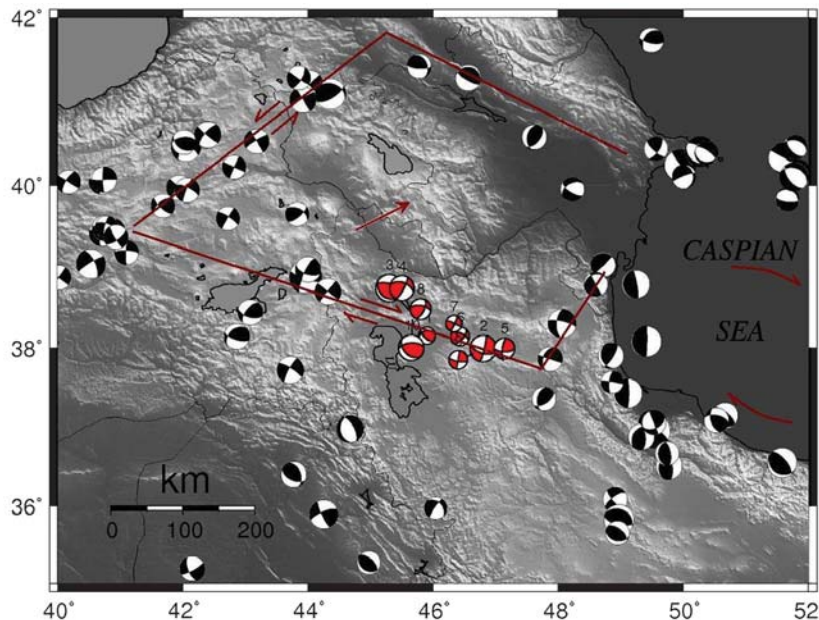
شکل ۵- توزیع کانون سطحی ۳۶۸ زمین‌لرزه انتخابی در منطقه تبریز (دوایر سرخ رنگ) و سازوکارهای محاسبه شده در این تحقیق (پارامترهای این سازوکارها در جدول ۲ آمده است). موقعیت مقاطع عرضی جهت بررسی توزیع کانونی ژرفی زمین‌لرزه‌ها با خطوط مشکی مشخص شده است. گسل‌ها (Berberian & Yeats, 1999)



شکل ۶- کانون ژرفی زمین‌لرزه‌ها



شکل ۷- توزیع کانون ۳۶۸ رویداد انتخابی در مقاطع عرضی رسم شده به صورت عمود بر روندهای مشاهده شده. محل گسل شمال تبریز در سطح با مثلث توپر مشکی مشخص شده است. مقطع AA' در بخش شمال باختری، BB' در بخش میانی و CC' در بخش جنوب خاوری گسل شمال تبریز رسم شده اند (رجوع به شکل ۵).



شکل ۸- طرحی ساده از حرکت افقی پوسته در شمال باختر ایران به سمت خاور. سازوکارهای کانوئی به دست آمده در این تحقیق، سرخ و سازوکارهای کانوئی مشکی از کاتالوگ CMT است.

References

- Allen, M., Jackson, J. & Walker, R., 2004- Late Cenozoic reorganization of the Arabia-Eurasia collision and the comparison of short-term and long-term deformation rates, *Tectonics*, 23, TC2008, doi:10.1029/2003TC001530.
- Ambraseys, N. & Melville, C., 1982- A history of Persian Earthquakes, Cambridge Univ. Press, Cambridge, UK.
- Barka, A. A. & Kadinsky-cade, K., 1988- Strike-slip fault geometry in Turkey and its influence on earthquake activity. *Tectonics*. 7, 663-84.
- Bayramnejad, E., Mirzaei, M. & Gheitanchi, M. R., 2008- Determination of improved velocity model for the north west Iran region, using simultaneous inversion of local earthquake travel times., *Journal of the Earth and Space Physics*. 33 (No.3), 47- 59.
- Berberian, M. & Arshadi, S., 1976- On the evidence of the youngest activity of the North Tabriz Fault and the seismicity of Tabriz city, *Geol. Surv. Iran Rep.*, 39, 397-418.
- Berberian, M. & Yeats, R. S., 1999- Pattern of historical earthquake rupture in the Iranian Plateau. *Bull. Seism. Soc. Am.*, 89, 120-139.
- Berberian, M., Jackson, J. A., Qorashi, M., Talebian, M., Khatib, M.M. & Priestley, K., 2000- The 1994 Sefidabeh earthquakes in eastern Iran: blind thrusting and bedding-plane slip on a growing anticline, and active tectonics of the Sistan suture zone, *Geophys. J. Int.*, 142, 283-299.
- Copley, A. & Jackson, J., 2006- Active tectonics of the Turkish-Iranian Plateau, *Tectonics*, 25, TC6006, doi:10.1029/2005TC001906.



- Dewey, J. F., Hemton, M. R., Kidd, W. S. F., Saroglu, F. & Sengor, A. M. C., 1986- Shortening of continental lithosphere: The neotectonics of eastern Anatolia, a young collision zone, in Collision Tectonics, edited by M. P. Coward and A.C. Ries, Geol. Soc. Spec. Publ., 19, 3-36.
- Engdahl, E.R., Jackson, J. A., Myers, S. C., Bergman, E. A. & Priestley, K., 2006- Relocation and assessment of seismicity in the Iran region. *Geophys. J. Int.* doi: 10.1111/j.1365-246X.2006.03127.x
- England, P & Molnar, P, 1990- Right-lateral shear and rotation as the explanation for strike-slip faulting in eastern Tibet, *Nature*. 344, 140-142.
- Falcon, N.L., 1974- Southern Iran: Zagros mountains, *Geol. Soc. Lond. Spec. Pub.*, 4, 199-211.
- Frechet, J. & Thouvenot ,F., 2003- PickEv 2000: Software to visualize, pick and process seismograms and locate local and teleseismic events.
- Havskov, J. & Ottemöller, L., 2005- SEISAN: the earthquake analysis software, version 8.1.
- Harvard. Department of Geological Sciences, Centroid Moment Tensor catalogue, available on line at: <http://www.globalcmt.org/CMTsearch.html>
- Hessami, K., Pantosti, D., Tabasi, H., Shabanian, E., Abbasi, M.R., Feghhi, K. & Soleymani, S., 2003- Paleoearthquakes and slip rates of the North Tabriz Fault, NW Iran: preliminary results. *Annals of Geophysics*, 46, 903-915.
- Jackson, J. A. & McKenzie, D., 1984- Active tectonics of the Alpine-Himalayan Belt between western Turkey and Pakistan, *Geophys. J. R. Astr. Soc.*, 77, 185-264.
- Jackson, J. A., Haines, A. J. & Holt, W. E., 1995- The accommodation of Arabia-Eurasia plate convergence in Iran, *J. Geophys. Res.*, 100, 15,205- 15,209.
- Jackson, J. A. & McKenzie, J., 1988- The relationship between plate motion and seismic moment tensors and the rate of active deformation in the Mediterranean and Middle East, *Geophys. J. R. Astron. Soc.*, 93, 45-73.
- Karkhanian, A., Trifonov, V., Philip, H., Avagyan, A., Hessami, K., Jamali, F., Bayraktutan, M. S., Bagdassarian, H., Arakelian, S., Davtyan, V. & Adilkhanian, A., 2004- Active faulting and natural hazards in Armenia, eastern Turkey and Northern Iran : *Tectonophysics*, 380, 189-219.
- Kissling, E., 1988- Geotomography with local earthquake data, *Rev. Of Geophys.*, 26, 659-698.
- Kurushin, R.A., Bayasgalan, A., Olziybat, M., Enhtuvshin, B., Molnar, P, Bayarsayhan, Ch., Hudnut, K.W. & Lin, J., 1997- The surface rupture of the 1957 Gobi-Altay, Mongolia, earthquake, *Geol. Soc. Am. Special Paper# 320*.
- Masson, F., Chery, J., Martinod, J., Hatzfeld, D., Vernant, P., Tavakoli, F. & Ghafori-Ashtiani, M., 2005- Seismic versus aseismic deformation in Iran inferred from earthquake and geodetic data, *Geophys. J. Int.*, 160, 217-226.
- Masson, F., Van Gorp, S., Chery, J., Djamour, Y., Tatar, M., Tavakoli, F., Nankali, H. & Vernant, P. 2006- Extension in NW Iran Driven by the Motion of the South Caspian Basin, *Earth Planet. Sci. Lett.*, 252, 180-188.
- McClusky, S., Bassalanian, C., Barka, A., Demir, C., Ergintav, S., Georgiev, I., Gurkan, O., Hamburger, M., Hurst, K., Hans-Gert, H.-G., Karstens, K., Kekelidze, G., King, R., Kotzev, V., Lenk, O., Mahmoud, S., Mishin, A., Nadariya, M., Ouzounis, A., Paradissis, D., Peter, Y., Prilepin, M., Relinger, R., Sanli, I., Seeger, H., Tealeb, A., Toksaz, M.N. & Veis, G., 2000- Global Positioning system constraints on plate kinematics and dynamics in the eastern Mediterranean and

- Caucasus, J. Geophys. Res., 105 (B3), 5695-5719.
- Mokhtari,D., 2007- Sag ponds on Tabriz fault: Landforms produced by active tectonics, Geosciences, 16 (No63), 40-49.
- Mial, A. D., 1990- Principles of sedimentary basin analysis. Springer-Verlag pub.
- Reilinger, R.E., S.C. McClusky, M.B. Oral, R.W. King, M.N. Toksoz, A.A. Barka, I. Kinik, O. Lenk, and I. Sanli, 1997- Global Positioning System measurements of present-day crustal movements in the Arabia-Africa-Eurasia plate collision zone, J. Geophys. Res., 102, 9983-9999.
- Reilinger, R., McClusky, S., Vernant, P., Laurence, S., Ergintav, S., Cakmak, R., Ozener, H., Kadirov, F., Guliev, I., Stepanyan, R., Nadariya, M., Hahubia, G., Mahmoud, S., ArRajehi, A., Abdulaziz, K., Paradissis, D., Al-Aydrus, A., Prilepin, M., Guseva, T., Evren, E., Dmitrotsa, A., Filikov, S.V., Gomez, F., Al-Ghazzi, R., & Karam, G., 2006- GPS constraints on continental deformation in the Africa-Arabia-Eurasia continental collision zone and implications for the dynamics of plate interactions, J. Geophys. Res., 111, B05411, doi:10.1029/2005JB004051.
- Sengor, A. M. C. & Kidd, W. S. F., 1979- Post-collisional tectonics of the Turkish – Iranian plateau and a comparison with Tibet, Tectonophysics, 55, 361-367.
- Stewart, I. S. & Hancock, P. L., 1992- Neotectonics. In : Twiss & Moores. Structural geology : freeman. 370 – 409.
- Vernant, P., Nilfroushan, F., Hatzfeld, D., Abbassi, M., Vigney, C., Masson, F., Nankali, H. & Martinod, J., 2004- Contemporary Crustal Deformation and Plate Kinematics in Middle East constrained by GPS Measurements in Iran and North Oman, Geophys. J. Int., 157, 381-398.
- Wadati A., 1933- On travel time of earthquake waves, part II., Geophys Mag. (Tokyo) 7, 101-111.
- Yeats, R., Sieh, K., & Allen, C., 1997- The Geology of Earthquakes: Oxford University Press.